

مدل‌سازی حجم حساس در محاسبه سطح مقطع آسیب پرتوهای فضایی SEU ناشی از پرتوهای فضایی

سعید بوربور^۱، سیدامیرحسین فقهی^{۲*} و حمید جعفری^۳

۱، ۲ و ۳- گروه کاربرد پرتوها، دانشکده مهندسی هسته‌ای، دانشگاه شهید بهشتی

* تهران، کد پستی ۱۹۸۳۹۶۳۱۱۳

a_feghhi@sbu.ac.ir

یکی از مهم‌ترین پارامترها در محاسبه سطح مقطع آسیب SEU ناشی از پرتوهای فضایی، شکل و اندازه حجم حساس سلول حافظه الکترونیکی است. تاکنون مدل‌های مختلفی برای محاسبه حجم حساس ارائه شده است، لیکن ارزیابی جامعی از میزان انطباق نتایج حاصل از به کارگیری این مدل‌ها با نتایج تجربی صورت نگرفته است. در این مقاله، نتایج حاصل از مدل‌های Tetrahedral RPP و Nested Sensitive Volume برای محاسبه حجم حساس سلول حافظه الکترونیکی مقایسه می‌شود. در این محاسبات، اثر لایه‌های فلزی و اکسیدی و همچنین اثر پهنه شدگی انرژی در نظر گرفته شده است. این محاسبات با استفاده از کد مونت کارلو GEANT4 انجام شده است. نتایج مقایسه پاسخ محاسبات انجام شده و آزمایش‌های تجربی برای حافظه الکترونیکی AT60142، بیانگر این است که مدل RPP اختلاف زیادی با نتایج آزمایش‌های عملی دارد و مدل Tetrahedral با وجود پاسخ نسبتاً قابل قبول در LET های کم در LET های بالا همچنان اختلاف زیادی با نتایج آزمایش‌های عملی نشان می‌دهد. در نهایت مدل Nested Sensitive Volume که در تمامی LET ها پاسخ مناسبی دارد، دارای نزدیک‌ترین پاسخ به نتایج آزمایش‌های عملی است.

واژه‌های کلیدی: حجم حساس، آسیب SEU، حافظه‌های الکترونیکی

مقدمه

علامه و اختصارات

محیط فضا شامل طیف گسترده‌ای از تابش‌های فضایی است که عمدتاً شامل پروتون‌ها، الکترون‌ها و یون‌های سنگین پرانرژی است. این تابش‌ها می‌توانند آسیب‌های گوناگونی را بر تجهیزات الکترونیکی، اجزای بنیادی تشکیل‌دهنده واحدهای سخت‌افزاری فضایی و زیرسیستم‌های استفاده شده در ماهواره‌ها و فضایی‌پیماها، وارد سازند. یکی از اثرات تابش یون پر انرژی روی مدارهای الکترونیکی ایجاد خطای SEE^۴ یا حادثه تک رخدادی است. خطای SEE گونه‌های متفاوتی از قبیل SEL^۵، SET^۶ و ... دارد.

E _{dep}	انرژی بر جای گذاشته شده
ρ	چگالی ماده هدف
LET	انتقال خطی انرژی
D	ضرخامت حجم حساس
θ	زاویه برخورد ذره با حجم حساس
L	طول مؤثر حرکت ذره در داخل حجم حساس

۱. دانشجوی کارشناسی ارشد

۲. دانشیار (نویسنده مخاطب)

۳. کارشناسی ارشد

4. Single Event Effect

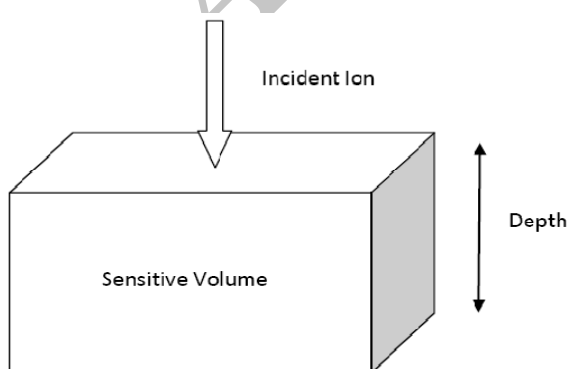
5. Single Event Upset

محاسبه کرد. برای این کار حجم ترانزیستور را به عنوان حجم حساس در نظر گرفته و مقدار انرژی برجای گذاشته شده توسط یون فروودی در این حجم محاسبه می‌شود. شکل‌ها و مدل‌های متفاوتی برای تقریب‌زدن این حجم ارائه شده است که ساده‌ترین آن مدل RPP^۳ است [۲-۵]. با پیشرفت فناوری ساخت قطعات نیمه‌هادی ابعاد ترانزیستورها به زیر میکرومتر کاهش پیدا کرده و مدل ساده RPP را نمی‌توان برای شبیه‌سازی قطعات جدید استفاده کرد. به همین دلیل باید از مدل‌های پیشرفته‌تر برای مدل‌سازی این حجم حساس استفاده شود. پس از مدل‌سازی RPP در کد مونت‌کارلو GEANT4 با استفاده از مدل‌های RPP و غیر RPP در حالت خالی مذکور شود. در ادامه سطح مقطع آسیب SEU بر حسب LET^۱ محاسبه می‌شود. در ادامه مقادیر حاصل از مدل‌سازی حجم حساس، با مقادیر حاصل از اندازه‌گیری‌های تجربی مقایسه و در نهایت بهترین مدل برای تعریف حجم حساس سلول حافظه الکترونیکی معرفی می‌شود.

RPP مدل

این مدل، ساده‌ترین راه برای در نظر گرفتن حجم حساس تعریف یک حجم هندسی به شکل مکعب مستطیل با ابعاد ثابت است، به گونه‌ای که بهره جمع‌آوری بار در تمام این حجم مقدار ثابتی باشد (شکل ۲). در مدل‌های قدیمی مانند RPP سطح مقطع ایجاد خطای SEU بر حسب LET ذرات، به صورت مستقل از انرژی و نوع ذره بیان می‌شود. با در نظر گرفتن LET ذرات به عنوان متغیر مستقل برای تابع سطح مقطع SEU، انرژی بر جا گذاشته شده توسط ذره‌ای با مشخص در طول مسیر D درون این حجم طبق رابطه (۱) به دست می‌آید.

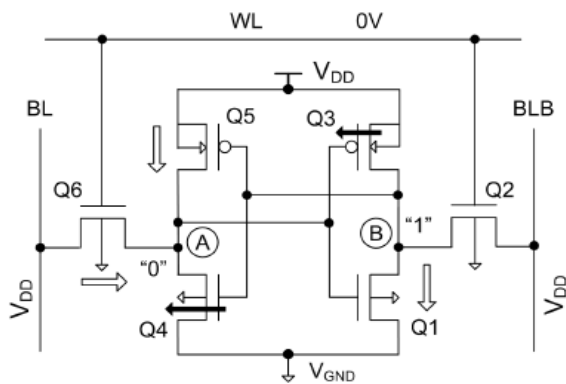
$$E_{dep} = \rho \cdot LET \cdot D \quad (1)$$



شکل ۲ - هندسه حجم حساس در مدل RPP

9. Rectangular Parallel Pipe
10. Linear Energy Transfer

در مورد مدارهای حافظه SRAM^۴ خطای SEU می‌تواند مقدار منطقی یک سلول از حافظه را معکوس کند و باعث از بین رفتن عدد واقعی ذخیره شده درون سلول شود. در شکل (۱) مدار داخلی یک سلول حافظه SRAM نشان داده شده است [۱].



شکل ۱ - مدار داخلی یک سلول حافظه SRAM

در حالت کارکرد عادی مدار مقدار ذخیره شده درون این سلول، توسط اعمال پس‌خورد از نقطه A و B به گیت‌های ترانزیستورهای مقابل، ثابت است. ترانزیستور Q1 دارای ولتاژ گیت صفر منطقی بوده بنابراین خاموش است و فقط جریان نشیتی بسیار اندکی از آن عبور می‌کند، اما به علت وجود اختلاف پتانسیل الکتریکی بین پایه‌های درین و سورس این ترانزیستور، یک میدان الکتریکی ایجاد می‌شود و الکترون- حفره‌های حاصل از یونیزاسیون ذره خارجی توسط این میدان جمع‌آوری می‌شود. جمع‌آوری این بارها باعث القای جریانی در ترانزیستور می‌شود. مقدار این جریان به پارامترهای مختلفی وابسته است که مهم‌ترین آن تعداد حامل‌های بار تولید شده از یونیزاسیون ذره ورودی است، به طوری که هرچه مقدار بار تولید شده بیشتر باشد جریان بیشتری از ترانزیستور عبور می‌کند. اگر مقدار این جریان به اندازه کافی زیاد باشد می‌تواند باعث شود که ولتاژ درین ترانزیستور Q1 به مقداری کمتر از یک منطقی افت کند، از طرفی با وجود بازخورد از نقطه A به گیت ترانزیستورهای Q4، Q5، ترانزیستور Q4 به حالت خاموش و Q5 به حالت روشن هدایت می‌شوند و به این ترتیب سطح منطقی این سلول حافظه معکوس می‌شود. برای مدل‌سازی این پدیده باید مقدار بار تولید شده توسط ذره فروودی را درون حجم ترانزیستوری که ابتدا خاموش است

6. Single Event LatchUp
7. Single Event Transient
8. Static Random Access Memory

بالا دیده می‌شود که مقدار سطح مقطع اندازه‌گیری شده از آزمایش یک مقدار رو به افزایش دارد و سطح مقطع در LET‌های بالا از مقطع هندسی خود ترانزیستور بزرگ‌تر است. دلیل این مسئله جمع‌آوری بار از بیرون پیوند است که توسط ذرعهای نسبتاً زیاد بیرون‌های سنگین به وجود می‌آید [۹-۱۱]. این پدیده باعث می‌شود که میدان الکتریکی درون پیوند ترانزیستور از حالت متمرکز درون پیوند خارج شده و بتواند بارهای را جمع‌آوری کند که از بیرون از پیوند خود ترانزیستور قرار دارند. به این ترتیب سطح مقطع خطای SEU برای یک سلول حافظه می‌تواند از مساحت مقطع ترانزیستور حساس بزرگ‌تر شده و برای ذرات سنگین حتی از مقطع کل سلول هم بیشتر شود. به عبارتی دیگر یک یون می‌تواند باعث SEU در چند سلول حافظه شود. از مدل نستد LOM^{۱۳} برای مدل کردن این پدیده استفاده می‌شود. یعنی به جای اینکه حجم حساس را درون ترانزیستور تعریف کنند آن را معادل مساحت کل سلول حافظه فرض کرده و بهره‌آوری بار متفاوتی به قسمت‌های مختلف آن نسبت می‌دهند.

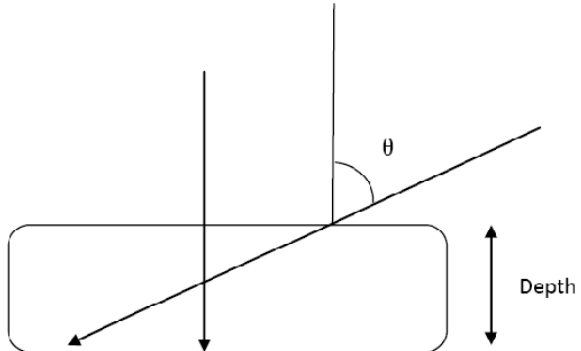
در مدل‌های جدید علاوه بر اصلاحات انجام شده روی شکل هندسی و بهره‌آوری بار، ساز و کارهای بر جا گذاشتن انرژی درون حجم حساس با دقت بیشتری بررسی می‌شود. پهن شدن انرژی در حجم‌های از مرتبه میکرومتر بیشتر دیده می‌شود [۱۲]. اثر پهن شدن انرژی برای ذراتی که LET نزدیک به مقدار LET آستانه (LET_{th}) دارند، تأثیر زیادی روی نرخ خطای SEU دارد و برای تعیین سطح مقطع SEU اثر این پدیده هم لحاظ می‌شود [۶]. در مدل‌سازی‌های پیشرفته‌تر از معماری واقعی داخل قطعه استفاده می‌شود و با درنظرگرفتن میدان الکتریکی درون ترانزیستورها، مقدار حقیقی بار جمع‌آوری شده توسط میدان الکتریکی محاسبه می‌شود [۱۳].

روش کار

برای محاسبه سطح مقطع SEU باید مدل‌های شده برای محاسبه SEU را درون کد محاسباتی پیاده کرد و مقدار انرژی بر جای گذاشته شده توسط یون را درون حجم حساس به دست آورد. برای این محاسبات از کد GEANT4 استفاده می‌شود. کد مونت‌کارلو GEANT4 بر مبنای زبان شیئ گرای C++ نوشته شده است و از این‌رو به راحتی توسعه‌پذیر است. این کد قابلیت‌های زیادی برای شبیه‌سازی انواع اندرکنش‌های فیزیکی مانند یونیزاسیون ذرات باردار، تراپید فوتون‌های نوری، گاما، نوترون و دیگر ذرات است [۱۴]. هر اندرکنش فیزیکی در یک کلاس تعریف می‌شود و مجموعه‌ای از این اندرکنش‌ها یک لیست از

برای تولید یک SEU در سلول حافظه، مقدار انرژی بر جا گذاشته شده باید از انرژی آستانه تولید آپست^{۱۱} بیشتر باشد، بنابراین اگر ذره‌ای بتواند در گذر از مسیری از درون این حجم، انرژی بیشتر از انرژی آستانه در این حجم به جای بگذارد باعث تولید یک خطای SEU می‌شود. طول مسیری که ذره در این حجم طی می‌کند عامل مهمی است که علاوه بر ضخامت خود این حجم به زاویه برخورد ذره با این حجم نیز بستگی دارد [۵ و ۲]. همان‌طور که در شکل (۳) دیده می‌شود طول مسیر ذره‌ای که با زاویه θ از این حجم عبور می‌کند طبق رابطه (۲) بیشتر از طول مسیر ذره‌ای است که به طور عمود این ناحیه را طی می‌کند.

$$L = D / \cos \theta \quad (2)$$



شکل ۳- اثر زاویه بر طول مسیر مؤثر ذره فروندی

مدل‌های غیر RPP

در واقعیت، ناحیه حساس یک شکل مکعبی با ابعاد ثابت ندارد، از طرفی بهره‌آوری بار در تمام این حجم یکسان نیست و مقدار آن به میدان الکتریکی و میزان ناخالصی توزیع شده در نیمه‌های بستگی دارد [۸ و ۷].

در مدل‌سازی‌های جدیدتر برای درنظرگرفتن این موضوع از هندسه‌های دیگری برای تعریف حجم حساس استفاده شده است. با درنظرگرفتن یک هرم به جای مکعب (در مدل هرمی^{۱۲}، سطح مقطع محاسبه شده برای SEU در LET‌های پایین تا حد خیلی زیادی به مقادیر بدست آمده از آزمایش نزدیک می‌شود [۶]. قاعدة این هرم برای اندازه مساحت ترانزیستور حساس و ارتفاع آن معادل عمق بستر در سلول حافظه درنظرگرفته می‌شود. در این مدل ابعاد حجم حساس برای تمام ذرات یکسان و محدود به حجم ترانزیستور است و بهره‌آوری بار در کل این حجم ثابت فرض می‌شود. در LET‌های پایین پاسخ این مدل مناسب است ولی در LET‌های

13. Nested volume

11. Upset
12. Tetrahedral

درنظرگرفته می‌شود. با توجه به مقادیر سطح مقطع به دست آمده از آزمایش، آغاز ایجاد خطای SEU مربوط به تحریک توسط یون نیتروژن است. طیف انرژی بر جای گذاشته شده در حجم حساس توسط یون نیتروژن با انرژی ۱۳۹ مگاالکترون ولت در شکل (۵) نشان داده شده است. متوسط انرژی بر جای گذاشته شده از یون نیتروژن در هنگام عبور از حجم حساس برابر ۴۴۰ کیلوالکترون ولت است. با درنظرگرفتن این مقدار انرژی به عنوان انرژی بحرانی، دیگر یون‌های موجود در جدول (۱) که همگی دارای LET بیشتری نسبت به یون نیتروژن هستند، می‌توانند این انرژی را در حجم حساس بر جای بگذارند. بنابراین همان‌طور که در شکل (۶) نشان داده شده است، پاسخ مدل RPP در محاسبه سطح مقطع آسیب SEU رفتار پله‌ای خواهد بود. از شکل مشخص است که سطح مقطع محاسبه شده در تمامی LET‌ها تفاوت بسیار زیادی با سطح مقطع به دست آمده از آزمایش دارد. به دلیل اینکه بهره جمع‌آوری بار و توزیع میدان الکتریکی در تمام حجم حساس یکسان نیست، باید از هندسه‌های دیگری استفاده کرد.

هندسه‌ای که مورد استفاده قرار می‌گیرد، یک هرم با ارتفاع ۱ میکرومتر و مساحت مقطع $1 \times 1/\text{میکرومتر مربع}$ است، سطح مقطع خطای به دست آمده از این هندسه در شکل (۷) ارائه شده است. پاسخ مدل هرمی نشان می‌دهد که در شکل (۷) این این مدل از نتایج به دست آمده از آزمایش پیروی می‌کند، اما در شکل (۸) با خط تو پر نشان داده شده است که مساحت مقطع بالای آن معادل مساحت مقطع بالای یکی از ترانزیستورهای تشکیل‌دهنده سلول حافظه AT60142 است.

محاسبات به ترتیب برای مدل RPP و سپس پاسخ هندسه هرمی با وجود اثر پهن‌شدگی انرژی مورد بررسی قرار می‌گیرد و در آخر پاسخ مدل نستد و لوم محاسبه می‌شود. پاسخ این مدل‌ها در سه شکل مجزا با مقدار حاصل از نتایج آزمایشگاهی اندازه‌گیری سطح مقطع SEU برای این SRAM مقایسه شده است.

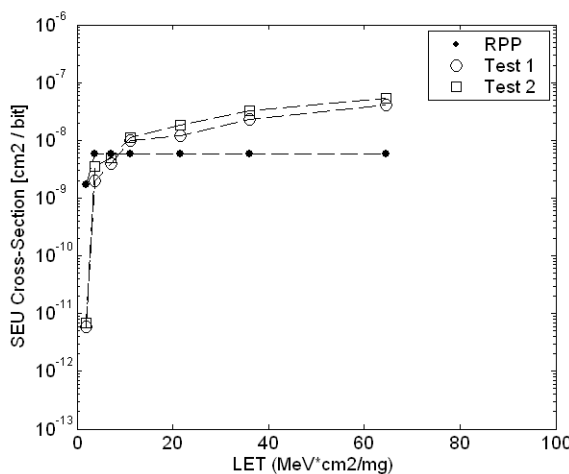
جدول ۱ - مشخصات یون‌های استفاده شده در آزمایش [۶]

نام یون	انرژی یون (MeV)	انتقال خطی انرژی (MeV · cm ² / mg)
$^{15}_7N$	۱۳۹	۱/۸۴۰
$^{20}_{10}Ne$	۱۸۶	۳/۷۲۰
$^{30}_{14}Si$	۲۷۸	۷/۰۴۴
$^{40}_{18}Ar$	۳۷۲	۱۱/۰۹
$^{56}_{26}Fe$	۵۲۳	۲۱/۶۱
$^{82}_{36}Kr$	۷۶۸	۳۵/۹۹
$^{131}_{56}Xe$	۱۲۱۷	۶۵/۵۰

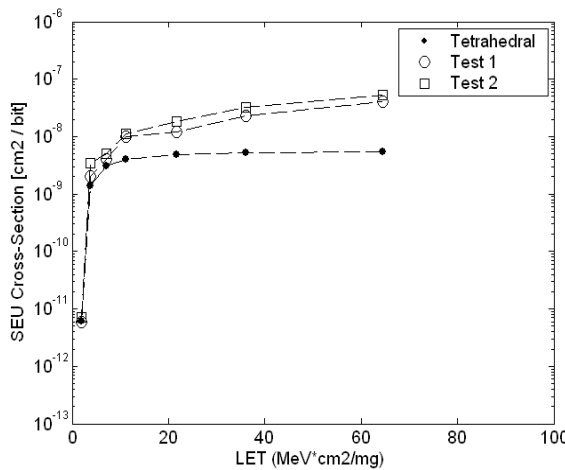
نتایج

برای محاسبه پاسخ مدل RPP، حجم حساس یک مکعب مستطیل با ابعاد مقطع $1 \times 1/\text{میکرومتر مربع}$ و ضخامت ۱ میکرومتر

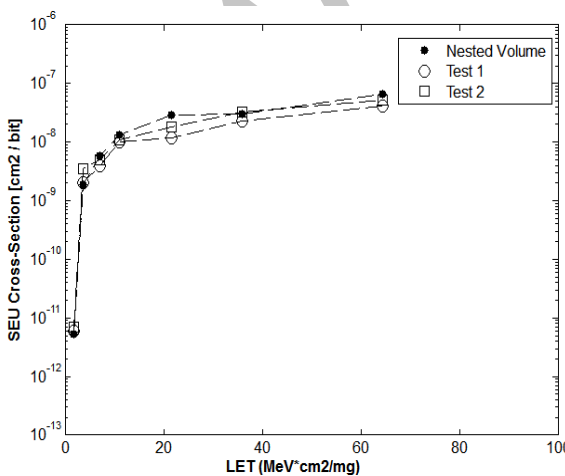
14. Standard EM Physics List
15. Nested sensitive volume



شکل ۶- سطح مقطع آسیب SEU بدستآمده بر حسب LET با استفاده از مدل RPP



شکل ۷- سطح مقطع آسیب SEU بدستآمده بر حسب LET با استفاده از مدل هرمی

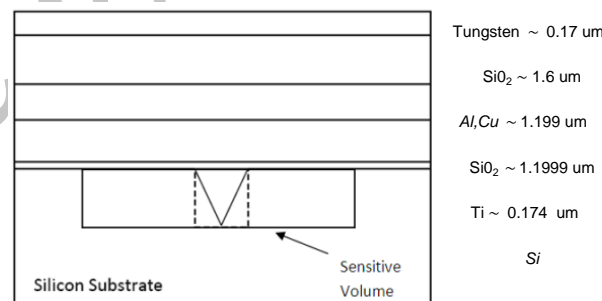


شکل ۸- سطح مقطع آسیب SEU بدستآمده بر حسب LET با استفاده از مدل نستد ولوم

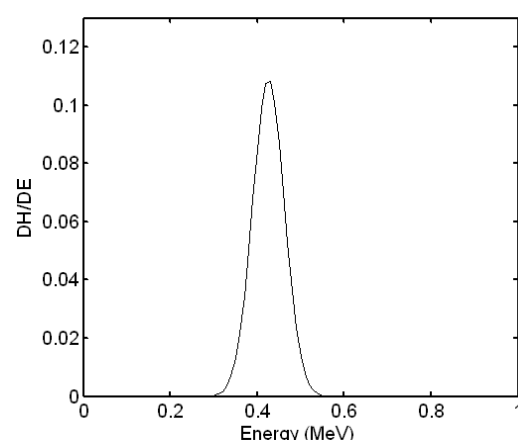
شده در آزمایش آورده شده، در سطرهای بعدی مقدار نتایج به دست آمده از آزمایش و مدل‌های محاسباتی نشان داده شده است. در دو سطر آخر مقدار خطای نسبی پاسخ مدل نستد ولوم نسبت به مقادیر آزمایش ۱ و ۲ آورده شده است.

نتیجه‌گیری

پاسخ سه مدل محاسباتی مطرح شده برای مدل سازی ناحیه حساس در ایجاد خطای SEU نسبت به مقادیر آزمایش مقایسه شد. با توجه به نتایج به دست آمده، سطح مقطع خطای SEU برای یون‌های سنگین از ابعاد ترانزیستورهای تشکیل‌دهنده سلول حافظه بزرگ‌تر است. بنابراین مدل‌های با ابعاد ثابت و محدود به اندازه ترانزیستور درون سلول نمی‌توانند پاسخ مناسبی برای یون‌های سنگین ایجاد کنند. به عبارتی ناحیه حساس مورد نظر محدود به ابعاد ترانزیستور نیست. مدل RPP در تمامی LET‌ها پایین که سطح مقطع خطای SEU کمتر از مقطع هندسی ترانزیستور است پاسخ قابل قبول دارد و در نهایت مدل نستد ولوم نزدیک‌ترین پاسخ به نتایج تجربی است.



شکل ۴- هندسه استفاده شده برای شبیه‌سازی AT60142 در کد GEANT



شکل ۵- طیف انرژی بر جای گذاشته شده در حجم حساس توسط یون نیتروژن با انرژی ۱۳۹ مگاکترون ولت

جدول ۲- مقادیر سطح مقطع‌های آسیب SEU محاسبه شده بر حسب [cm²/bit] با استفاده از مدل‌های RPP، هرمی و نستد ولوم و مقایسه آنها با داده‌های تجربی

نام یون	N	Ne	Si	Ar	Fe	Kr	Xe
[x] داده‌های آزمایش ۱	6×10^{-12}	2×10^{-9}	4×10^{-9}	1×10^{-8}	$1/2 \times 10^{-8}$	$2/3 \times 10^{-8}$	$4/1 \times 10^{-8}$
[x] داده‌های آزمایش ۲	7×10^{-12}	$3/5 \times 10^{-9}$	5×10^{-9}	$1/1 \times 10^{-8}$	$1/8 \times 10^{-8}$	$3/2 \times 10^{-8}$	$5/3 \times 10^{-8}$
RPP مدل	$1/5 \times 10^{-8}$	$0/58 \times 10^{-8}$	$0/58 \times 10^{-8}$	$0/58 \times 10^{-8}$	$0/58 \times 10^{-8}$	$0/58 \times 10^{-8}$	$0/58 \times 10^{-8}$
مدل هرمی	$6/0.37 \times 10^{-12}$	$1/3715 \times 10^{-9}$	$3/0.8 \times 10^{-9}$	$4/0.9 \times 10^{-9}$	$4/18229 \times 10^{-9}$	$5/2674 \times 10^{-9}$	$5/50.35 \times 10^{-9}$
مدل نستد ولوم	$5/246 \times 10^{-12}$	$1/8993 \times 10^{-9}$	$5/865 \times 10^{-9}$	$1/316 \times 10^{-8}$	$2/945 \times 10^{-8}$	$2/963 \times 10^{-8}$	$5/663 \times 10^{-8}$
خطای نسبی مدل نستد ولوم به آزمایش ۱ (درصد)	۱۲/۵	۵	۴۶/۶	۳۱/۶	۱۴۵/۴	۲۸/۸	۶۲/۵
خطای نسبی مدل نستد ولوم به آزمایش ۲ (درصد)	۲۵	۴۵/۷	۱۷/۳	۱۹/۶	۶۳/۶	۷/۴	۲۵

- [7] Streetman, B. G., *Solid State Electronic Device*, 4th Edition, Prentice Hall, 1995, pp.51-90.
- [8] Jasprit, S., *An Introduction to Semiconductor Devices*, 2nd Edition, McGraw-Hill, 1994, pp.12-53.
- [9] Fageeha, O., Howard, J. and Block, FL., “Distribution of Radial Energy Deposition around the Track of Energetic Charged Particles in Silicon,” *Journal of Applied Physics*, Vol. 75, No. 5, 1994, pp.2317-2321.
- [10] Zoutendyk, J. A., Crescenza, La , Malone, C. J., Method of Measuring Field Funneling and Range Straggling in Semiconductor Charge Collection Junctions, Washington Dc, (United States Patent), 1987.
- [11] Bertrand, J. and Renaud, N., Single Event Transients Characterisation of ATC18RHA ASIC Family, (Workshop) Aerospace Marketing Engineer – Processors & Radiation Aspects, 2007.
- [12] Barak, J. and Akkerman, A., “Straggling and Extreme Cases in the Energy Deposition by Ions in Sub-Micron Silicon Volumes”, *IEEE Transactions on Nuclear Science*, Vol. 52, No. 6, 2005, pp. 2175-2181.
- [13] Ke-Ying, Zh., Hong-Xia, G., Yin-Hong, L., “First Principles Simulation Technique for Characterizing Single Event Effects”, *Journal of Chinese Physics B*, Vol. 20, No.6, 2011, pp.46-57.
- [14] Geant4 Physics Reference Manual, Available, [on line]: <http://geant4.web.cern.ch/geant4/>, 2011, pp. 201-212.

مراجع

- [1] Jahinuzzaman, S. M., Modeling and Mitigation of Soft Errors in Nanoscale SRA Ms. (Ph. D. Thesis) University of Waterloo, Waterloo, Ontario, Canada, 2008, pp.28-89.
- [2] Peterson, E. L., “Geometrical Factors on SEE Rate Calculations,” *IEEE Transactions on Nuclear Science*, Vol. 44, No. 6, 1993, pp.1888-1909.
- [3] Duzellier, S. and Inguimbert, C., “SEU Rate Calculation with GEANT4 (Comparison with CREME 86)”, *IEEE Transactions on Nuclear Science*, Vol. 51, No. 5, 2004, pp.2805-2810.
- [4] Connell, L.W., Sexton, F.W. and Prinja, A. K., “Further Development of the Heavy Ion Cross Section for Single Event Upset”, *Sandia National Laboratories. Albuquerque*, New Mexico, 1997.
- [5] Dodd, P. E, Shaney felt, M. R and Sexton, F. W., *Charge Collection and SEU from Angled Ion Strikes*, Report of Sandia National Laboratories, Albuquerque, Mexico, 1997.
- [6] Keating, A. and Oliveira, B., Mars Radiation Environment and Effects on EEE Components, (Ph.D. Thesis), Lisbon, 2008, pp.142-202.